

การออกแบบหัวขานดที่เหมาะสมสมกับสุดของหัวอ่านแม่เหล็กไฟฟ้าชนิด Truncated Cycloidal

Optimum Design of the Truncated Cycloidal Magnetic Head Slide,

มงคล มงคลวงศ์โรจัน และ ชนิษฐา วงศ์สีดาแก้ว
ภาควิชาวิศวกรรมเครื่องกล คณะวิศวกรรมศาสตร์ สถาบันเทคโนโลยีพระจอมเกล้าเจ้าคุณทหารลาดกระบัง
ลาดกระบัง กรุงเทพ 10520
โทร 3269987 ต่อ 103, โทรสาร 0-2326-9053 Email: S3062027@kmitl.ac.th

Mongkol Mongkolwongrojn and Khanitha Wongseedakaew
Department of Mechanical Engineering, Faculty of Engineering, King Mongkut's Institute of Technology Ladkrabang
Tel: (662) 0-2326-9987 ext. 103, Fax: 0-2326-9053

บทคัดย่อ

บทความนี้นำเสนอการหัวขานดที่เหมาะสมสมกับสุดของหัวอ่าน Truncated cycloidal ในอุปกรณ์การจดเก็บข้อมูลทางแม่เหล็กไฟฟ้าที่สภาวะการทำงานสติติซึ โดยใช้สมการโมดิฟายด์เรย์โนล์ดที่คิดผลของการไหลแบบลีนไอกลงโมเลกุล โปรแกรมคณิตศาสตร์ที่ใช้ประกอบด้วยวิธีบีรเดน-เฟลทเชอร์-โกลด์เฟรน-เซนโน(BFGS) และวิธีค้นหาเชิงเส้น เพื่อหาความหนาพิล์มอากาศที่บริเวณขอบห้ายของหัวอ่านแม่เหล็กไฟฟ้า ต่ำที่สุด โดยมีความหวังของร่างของหัวอ่านและหมุนเทเบอร์เป็น design variables แล้วทำการเปรียบเทียบผลการคำนวณที่ได้กับหัวอ่านชนิด IBM 3380

Abstract

This paper presented the optimum design of a magnetic head slider in magnetic storage device at statically operating condition. The modified Reynolds equation included molecular slip flow effects has been formulated for the Truncated Cycloidal head slider. The mathematical programming comprised of the Broyden-Fletcher-Goldfarb-Shanno (BFGS) method and the line search method was utilized to minimize the flying heights of magnetic slider bearing. Optimum design variables, rail width and taper angle were obtained and compared with the results from IBM 3380 type head slider.

1.บทนำ

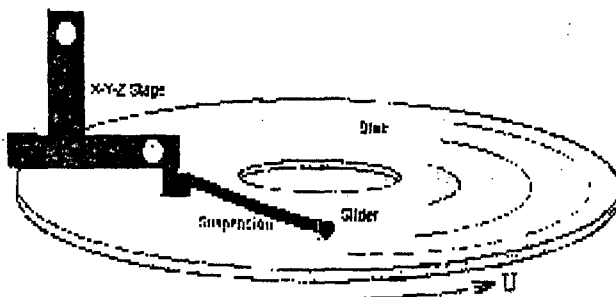
ปัจจุบันเทคโนโลยีการบันทึกข้อมูลทางแม่เหล็กไฟฟ้าของ disk driver มีการพัฒนาเพื่อจัดเก็บข้อมูลในคอมพิวเตอร์สมัยใหม่ การบันทึกข้อมูลทางแม่เหล็กไฟฟ้าเกิดจากการเหนี่ยวนำให้เกิดสนามแม่เหล็กไฟฟ้าในช่วงเวลาที่ทำการบันทึก โดยหัวอ่านจะลอดอยอยู่เหนือผิววัสดุที่หมุน ดังรูปที่ 1 การเปลี่ยนแปลงสนามแม่เหล็กตามสัญญาณที่ส่งผ่านมาอย่างหัวอ่านจะต้องสัมภาร์กัน ประสิทธิภาพของการบันทึกข้อมูลขึ้นอยู่กับ

ปัจจัยหลายอย่างเช่น ชนิดของหัวอ่าน ค่าความหนาของพิล์มอากาศ และความสะอาดของอากาศที่รองลีน เป็นต้น

ค่าความหนาพิล์มอากาศที่หล่อลีนหรือระยะห่างระหว่างผิวดิสก์ และหัวอ่าน เป็นปัจจัยสำคัญมากในการวิเคราะห์การทำงานของหัวอ่าน ซึ่งในปัจจุบันระยะการลอดด้วยหัวอ่านได้พัฒนาให้มีระยะต่ำมาก ๆ เพื่อเพิ่มความสามารถในการเขียนข้อมูลและความถี่การของหัวอ่านในขณะทำงาน ดังนั้นความหนาพิล์มน้อย ๆ จึงเป็นสิ่งที่จำเป็นต้องพิจารณาในการออกแบบหัวอ่านในปัจจุบัน แต่ความหนาพิล์มต้องบางเพียงพอที่จะไม่ทำให้เกิดการสัมผัสถันระหว่างหัวอ่านและผิวดิสก์ เพราะหากเกิดการสัมผัสถันก็จะส่งผลให้เกิดความสูญเสียของข้อมูล เก็บข้อมูลที่เก็บบันทึกไว้ ถึงสำคัญในการออกแบบหัวอ่านแม่เหล็กไฟฟ้าให้มีประสิทธิภาพในการบันทึกข้อมูลลีนหัวอ่านจะต้องมีระยะห่างระหว่างหัวอ่านและดิสก์ต่ำที่สุดและจะต้องเสถียร ดังนั้นจึงจำเป็นต้องทำการวิเคราะห์ทัวแปรที่มีผลต่อประสิทธิภาพในการทำงานบันทึกข้อมูลของหัวอ่าน

D.H. Choi และ S.J. Yoon, 1994 [3] ศึกษาหัวขานดที่เหมาะสมของหัวอ่านแม่เหล็กไฟฟ้าในสภาวะสติติซึ ด้วยเทคนิคทาง Optimization, D.B. Bogy และคณะ, 1998 [1] ศึกษาการออกแบบของหัวอ่านสำหรับการบันทึกข้อมูล และ H. Hashimoto และ Y. Hattori, 2000 [5] ศึกษาการพัฒนาการออกแบบของหัวอ่านในสภาวะทำงานสติติซึ และได้ดำเนินการโดยใช้วิธีทาง optimization

บทความนี้ได้เปรียบเทียบพฤติกรรมสติติซึของหัวอ่านชนิด Truncated cycloidal และหัวอ่านชนิด IBM 3380 โดยมีขนาดความกว้างของราง(rail width) ของหัวอ่าน และมุมเทเบอร์(taper angle) เป็น design variables และสมการวัตถุประสงค์(Objective function) คือค่าความสูงที่ขอบห้าย(h_{TR}) ต่ำสุด วิธีการ Optimization ที่ใช้ในบทความนี้ คือ Broyden-Fletcher-Goldfarb-Shanno(BFGS) และเมื่อได้ขันดที่เหมาะสมของหัวอ่าน ก็จะต้องสัมภาร์กัน ประสิทธิภาพของหัวอ่านจะดีขึ้น



รูปที่ 1 ลักษณะของการลอยตัวของหัวอ่านเหนือผิวของดิสก์

2. กฎบท

สมการสมดุลแรงมีดังนี้

$$r_1 = F + mg - W$$

$$r_2 = x_F F + x_c mg - x_w W$$

$$r_3 = y_F F + y_c mg - y_w W$$

$$\begin{aligned} P &= \frac{p}{P_a}, \quad H = \frac{h}{h_m}, \quad X = \frac{x}{L}, \quad Y = \frac{y}{B}, \quad \Lambda_x = \frac{6\mu\mu L}{P_a h_m^2}, \\ \Lambda_y &= \frac{6\mu VB}{P_a h_m^2} \text{ และ } K_0 = \frac{\lambda_a}{h_m} \end{aligned}$$

โดย P_a คือค่าความดันบรรยากาศ, h_m คือความหนาฟิล์มต่ำสุดที่ขอบท้าย, L คือ ค่าความยาวของหัวอ่าน, B คือค่าความกว้างของรางของหัวอ่าน, Λ_x, Λ_y , คือ ค่าเบร็งนัมเบอร์(Bearing number) ตามแนวแกน x และ y ตามลำดับ, K_0 คือค่าคณูดเซนนัมเบอร์(Knudsen number) และ λ_a คือเส้นทางการเคลื่อนที่อิสระโดยเฉลี่ยของโมเลกุลที่ความดันบรรยากาศ

โดย

$$\begin{aligned} W &= \int (p - p_a) dA \\ x_w &= \int x(p - p_a) dA / W \\ y_w &= \int y(p - p_a) dA / W \end{aligned} \quad (2)$$

หัวอ่านจะอยู่ที่สภาวะสมดุลหรือมีความเสถียรในขณะทำงานเมื่อ

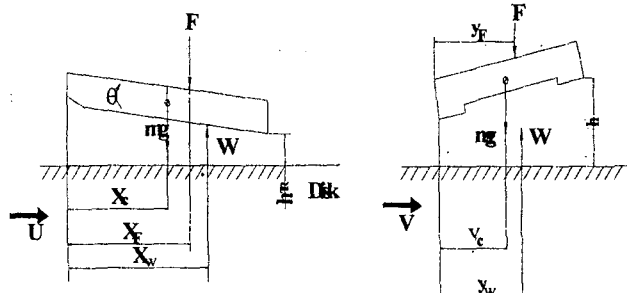
$$r_1 = r_2 = r_3 = 0 \quad (3)$$

โดย r_1, r_2, r_3 คือผลรวมของแรงและผลรวมโมเมนต์, F คือแรงจับยึดหัวอ่าน, m คือมวลของหัวอ่าน, W คือแรงเนื่องจากความดันอากาศโดยรวมที่กระทำต่อหัวอ่าน, x, y คือระยะตามแกน x และแกน y ตามลำดับ, x_c, y_c คือระยะจุดศูนย์กลางมวล, x_F, y_F คือระยะของจุดหมุน, x_w, y_w คือระยะจุดศูนย์กลางของความดัน

การกระจายค่าความดันของฟิล์มอากาศในสภาวะสถิตย์สามารถหาได้จากการสมการโมเดลฟายเดรย์โนลต์

$$\frac{\partial}{\partial x} \left[ph^3 \frac{\partial p}{\partial x} \right] + \frac{\partial}{\partial y} \left[ph^3 \frac{\partial p}{\partial y} \right] = 6\mu \frac{\partial}{\partial x} (ph) + 6V\mu \frac{\partial}{\partial y} (ph) \quad (4)$$

โดย p คือ ค่าความดันที่ตำแหน่งนั้นๆ, h คือ ค่าความหนาฟิล์มที่ตำแหน่งนั้นๆ, μ คือ ค่าความหนืดของอากาศ และ U, V คือค่าความเร็วของกระแสไถลของพื้นผิวที่มีการเคลื่อนที่(ผิวดิสก์)ตามทิศ x และ y ตามลำดับ สมการโมเดลฟายเดรย์โนลต์สามารถเขียนในรูปไว้มิติได้ดังนี้



รูปที่ 2 free body diagrams ของหัวอ่าน IBM 3380

สมการค่าความหนาฟิล์มมีดังนี้

IBM 3380

$$0 \leq x \leq x_{TP}$$

$$h = h_{TR} + (L - x_{TP}) \tan \theta + (x_{TP} - x) \tan \theta_{TP} \quad (6)$$

$$x_{TP} \leq x \leq L$$

$$h = h_{TR} + (L - x) \tan \theta \quad (7)$$

Truncated cycloidal

$$0 \leq x \leq x_{TP}$$

$$h = h_{TR} + (L - x_{TP}) \tan \theta + \tan \theta_{TP} (x_{TP} - x)$$

$$= \frac{x_{TP}}{\pi} \tan \theta_{TP} \sin \left(\frac{\pi(x_{TP} - x)}{x_{TP}} \right) \quad (8)$$

$$x_{TP} \leq x \leq L$$

$$h = h_{TR} + (L - x) \tan \theta \quad (9)$$

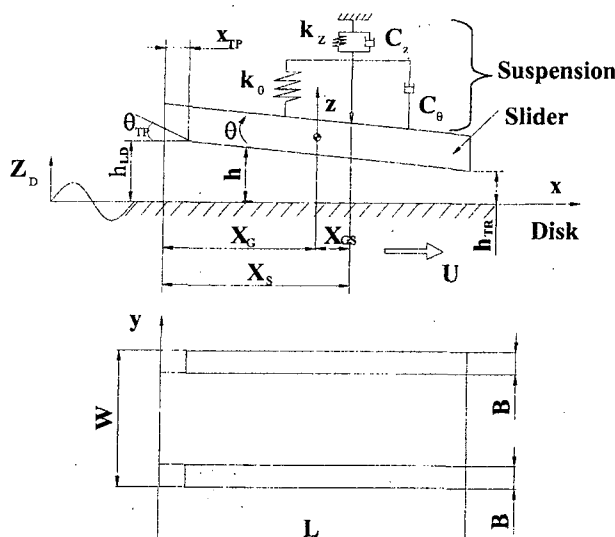
สมการวัตถุประสงค์คือ

$$f(x) = \min h_{TR} \quad (10)$$

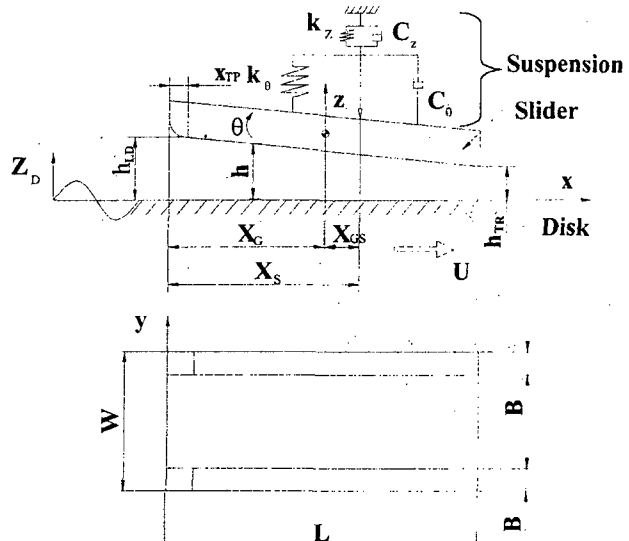
subjected to

$$0.15 \leq B \leq 0.75 \text{ mm}$$

$$10 \leq \theta_{TP} \leq 30 \text{ mrad} \quad (11)$$



รูปที่ 3 รูปป่างของหัวอ่านชนิด IBM 3380



รูปที่ 4 รูปป่างของหัวอ่านชนิด Truncated cycloidal

3. วิธีการคำนวณเชิงตัวเลข

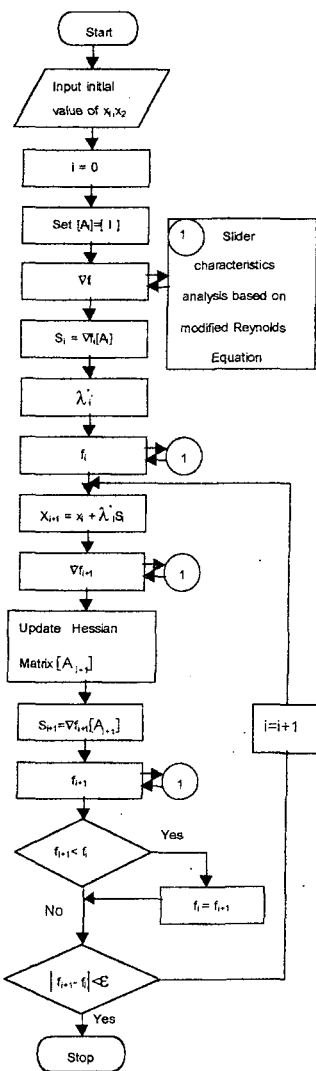
การคำนวณประกอบด้วยวิธี BFGS และวิธีค้นหาเชิงเส้น สำหรับวิธี BFGS มีขั้นตอนการคำนวณดังนี้

1. กำหนดค่า $i = 0$
2. กำหนดเวคเตอร์ของจุดเริ่มต้น x^i
3. กำหนดค่าเมตริกเริ่มต้น A^i
4. คำนวณค่าเวคเตอร์เกรดิエン ∇f^i หาก f_i โดยการวิเคราะห์การกระจายความดันจากสมการโมเดลฟายด์เรย์โนลด์ และหาพิกัดทางการเคลื่อนที่ของตำแหน่งใหม่
- $S^i = \nabla f^i [A^i]$
5. คำนวณระยะห่างของตำแหน่งใหม่ที่จะเคลื่อนที่ไปยัง λ_i
6. นำค่า λ_i ไปคำนวณหาค่าเวคเตอร์เริ่มต้นของตำแหน่งใหม่ x^{i+1} และหาค่า ∇f^{i+1}
7. คำนวณค่าของแซกเชียร์เมตริก A^{i+1}
8. คำนวณค่าของ S^{i+1}
9. คำนวณค่าของ λ_{i+1}^* และค่า f_{i+1}
10. ตรวจสอบว่าค่า f_{i+1} ที่ได้มีค่าต่ำสุดและมีค่า $|f_{i+1} - f_i| \leq \epsilon$ หรือไม่ถ้าไม่เป็นจริงให้กลับไปทำขั้นตอนที่ 6 ใหม่จนกว่าจะได้ค่าที่เป็นจริง โดยค่า ϵ คือค่าความผิดพลาด

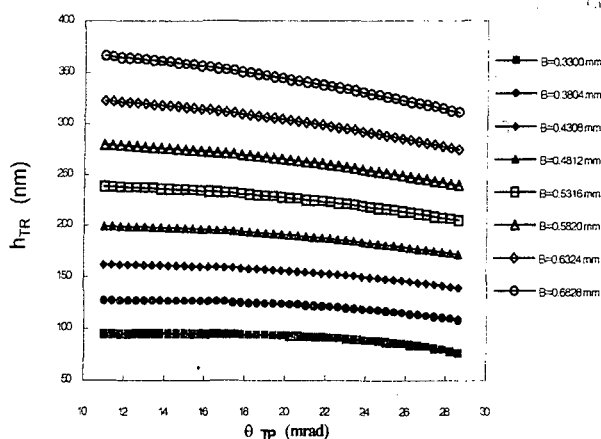
4. ผลการคำนวณ

จากการคำนวณพบว่าเมื่อความกว้างของร่างของหัวอ่านชนิด IBM 3380 มีขนาดต่ำกว่า 0.33 mm และจะไม่เสียรูในขณะทำงานและหัวอ่านชนิด Truncated cycloidal มีความกว้างของร่างต่ำกว่า 0.32 mm จะไม่เสียรูในขณะทำงานเช่นเดียวกัน กล่าวคือไม่เป็นตามสมการที่(3) ขนาดที่เหมาะสมของหัวอ่านชนิด IBM 3380 จะมีความกว้างของร่างเท่ากับ 0.33 mm และมีมุมเบปอร์เท่ากับ 28.6 mrad สำหรับหัวอ่าน

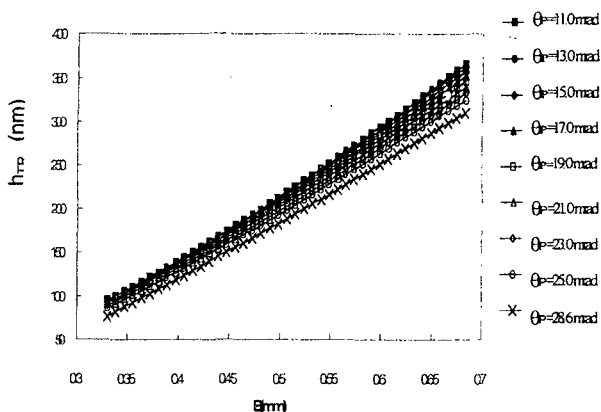
ชนิด Truncated cycloidal มีความกว้างของร่างเท่ากับ 0.32 mm และมีมุ่งเทาปอร์เท่ากับ 11 mrad หัวอ่านชนิด IBM 3380 จะมีความหนาพิล์มอากาศที่ขอบห้ายต่ำกว่าหัวอ่านชนิด Truncated cycloidal โดยหัวอ่านชนิด IBM 3380 มีความหนาพิล์มอากาศที่ขอบห้ายต่ำสุดเท่ากับ 76.5 nm และหัวอ่านชนิด Truncated cycloidal มีความหนาพิล์มอากาศที่ขอบห้ายต่ำสุดเท่ากับ 85.6 nm จากรูปที่ 6 และรูปที่ 8 จะพบว่า เมื่อค่าความกว้างของร่างเพิ่มขึ้นค่าความหนาพิล์มอากาศที่ขอบห้ายจะมีค่าเพิ่มขึ้น เมื่อค่าของมุ่งเทาปอร์เพิ่มขึ้นจะได้ค่าความหนาพิล์มอากาศที่ขอบห้ายของหัวอ่านชนิด IBM 3380 ลดลงดังรูปที่ 7 แต่หัวอ่านชนิด Truncated cycloidal จะมีค่าความหนาพิล์มอากาศที่ขอบห้ายลดลงเมื่อค่ามุ่งเทาปอร์ลดลงดังรูปที่ 9 ในการคำนวนครั้งนี้ใช้ค่าความหนืดอากาศ (μ) เท่ากับ 1.84×10^{-5} Pas. ค่า λ เท่ากับ 0.065 μm ค่า $\text{Pa} = 0.101$ Mpa



หลังจากนั้นนำหัวอ่านห้องส่องชนิดมาจำลองพุตติกรรมสถิติรูปที่ 10 แสดงความดันกระจาบบพื้นผิวของหัวอ่านชนิด IBM 3380 จะพบว่าความดันอากาศสูงสุดจะเกิดบริเวณใกล้กับขอบนำและขอบห้าย และแรงดันที่สูงสุดจะอยู่ใกล้บริเวณขอบห้าย ความดันจะลดลงที่ขอบห้ายเนื่องจากการสูญเสียความดันของอากาศบริเวณขอบ(side leakage) รูปที่ 11 แสดงความดันกระจาบบพื้นผิวของหัวอ่านชนิด Truncated cycloidal จะพบว่าความดันสูงสุดของความดันอากาศสูงสุดจะเกิดบริเวณใกล้กับขอบนำและขอบห้าย เช่นเดียวกัน แต่มีความดันสูงกว่าหัวอ่านชนิด IBM 3380 เมื่อเปรียบเทียบความดันที่กึ่งกลางของร่างตามแนวความยาวของหัวอ่านห้องส่องชนิดจะพบว่าหัวอ่านชนิด Truncated cycloidal จะมีค่าความดันสูงสุดมากกว่าหัวอ่านชนิด IBM 3380 และศูนย์กลางของแรงเนื่องจากความดันของหัวอ่านมากกว่าหัวอ่านชนิด Truncated cycloidal ดังนั้นหัวอ่านชนิด IBM 3380 จะมีความเสถียรในขณะทำงานดีกว่าหัวอ่านชนิด Truncated cycloidal ที่สภาวะทำงานสถิติรูปดังแสดงในรูปที่ 12

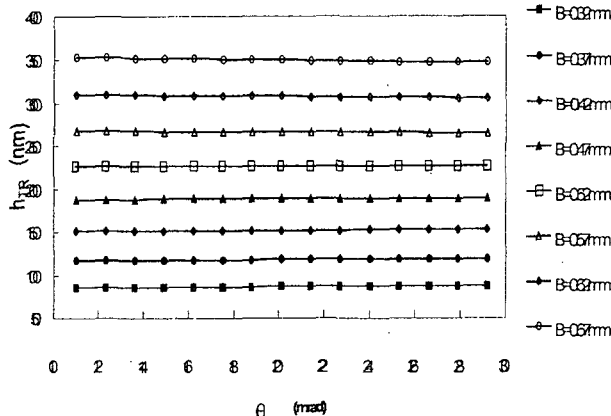


รูปที่ 6 ความสัมพันธ์ระหว่างค่าความหนาพิล์มอากาศที่ขอบห้ายและมุ่งเทาปอร์ของหัวอ่านชนิด IBM 3380

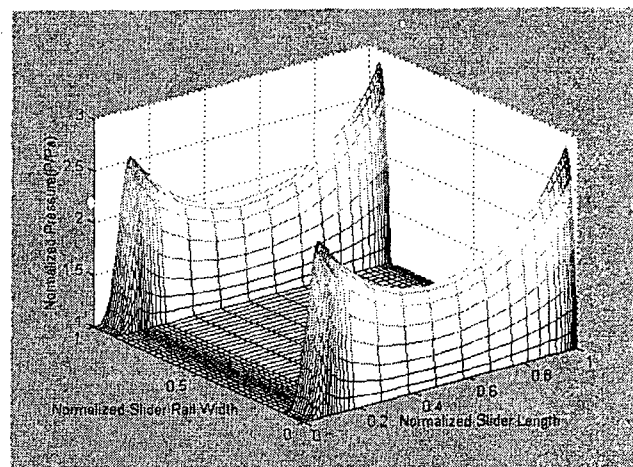


รูปที่ 7 ความสัมพันธ์ระหว่างค่าความหนาพิล์มอากาศที่ขอบห้ายและความกว้างของร่างของหัวอ่านชนิด IBM 3380

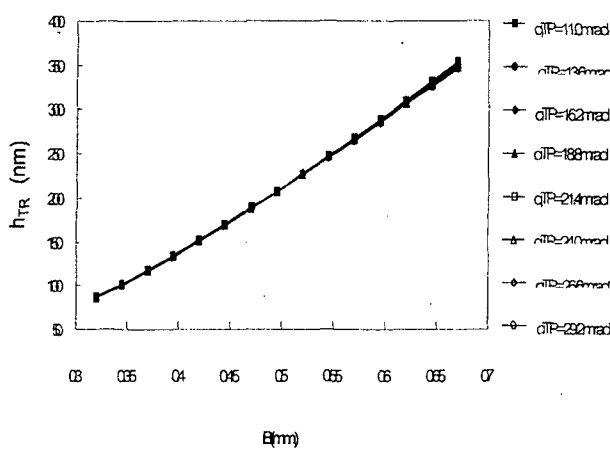
รูปที่ 5 แผนผังขั้นตอนการคำนวนของวิธี BFGS



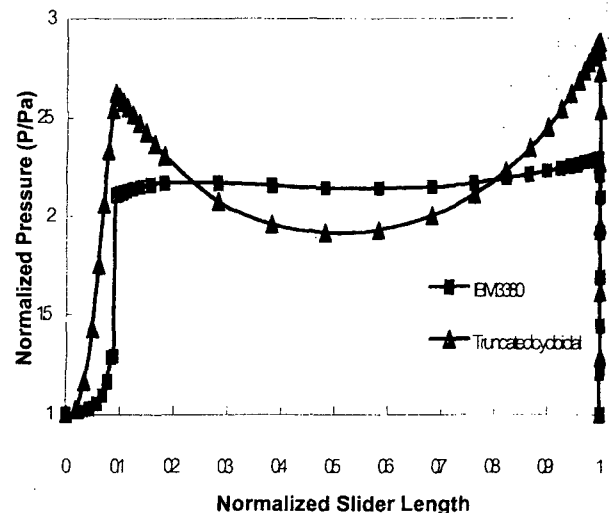
รูปที่ 8 ความสัมพันธ์ระหว่างค่าความหนาฟิล์มอากาศที่ขอนท้ายและมุมเทเปอร์ของหัวอ่านชนิด Truncated cycloidal



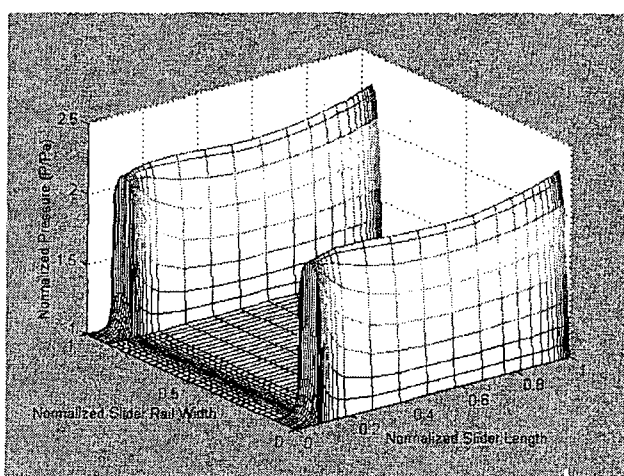
รูปที่ 11 ความดันกระจาบันพื้นผิวของหัวอ่านชนิด Truncated cycloidal ที่ $B=0.32 \text{ mm}$ $\theta_{TP} = 11 \text{ mrad}$



รูปที่ 9 ความสัมพันธ์ระหว่างค่าความหนาฟิล์มอากาศที่ขอนท้ายและความกว้างของรางของหัวอ่านชนิด Truncated cycloidal



รูปที่ 12 เปรียบเทียบความดันกระจาบันที่กึ่งกลางของรางตามแนวความกว้างของหัวอ่านชนิด IBM 3380 และหัวอ่านชนิด Truncated cycloidal



รูปที่ 10 ความดันกระจาบันพื้นผิวของหัวอ่านชนิด IBM 3380 ที่ $B=0.33 \text{ mm}$ $\theta_{TP} = 28.6 \text{ mrad}$

5.สรุป

การคำนวณหาค่าที่เหมาะสมที่สุดของขนาดของหัวอ่านแม่เหล็กไฟฟ้าสามารถใช้วิธีบอร์เดน-เฟลกเซอร์-โกลด์เฟรบ-เชนโน(BFGS) และวิธีการค้นหาเชิงเส้น เพื่อหาค่าความหนาของฟิล์มอากาศที่ขอนท้ายต่ำสุด จากการคำนวณพบว่าหัวอ่านชนิด IBM 3380 มีค่าความหนาของฟิล์มอากาศที่ขอนท้ายต่ำกว่าหัวอ่านชนิด Truncated cycloidal ถ้าค่าความกว้างของรางเปลี่ยนแปลงจะมีผลทำให้ค่าความหนาฟิล์มอากาศที่ขอนท้ายมีค่าเปลี่ยนแปลงมาก และค่าความหนาฟิล์มอากาศที่ขอนท้ายจะเปลี่ยนแปลงน้อยมากเมื่อเปลี่ยนแปลงค่ามุมเทเปอร์ เมื่อนำหัวอ่านทั้งสองชนิดที่มีขนาดที่เหมาะสมที่ได้จากการคำนวณไปศึกษาพฤติกรรมการทำงานในสภาวะสตاتิคจะพบว่าหัวอ่าน IBM 3380 จะมีความเสถียรในขณะทำการบันทึกได้กว่าหัวอ่านชนิด Truncated cycloidal

เพื่อระดับความต้านทานของแรงดันน้ำที่เกิดขึ้นอยู่กับกระดาษมวล
ของหัวอ่านมากกว่า

6. เอกสารอ้างอิง

- [1] D.B. Bogy, S. Lu, M.A. O'Hara and S. Zhang, "Some Advanced Air-Bearing Design Issues for Proximity Recording", ASME Journal of Tribology, Vol.120, 1998, pp.556-570.
- [2] C.Bagci and A.P. Singh, "Hydrodynamic Lubrication of Finite Slider Bearings: Effect of One Dimensional Film Shape and Their Computer Aided Optimum Designs", ASME Journal of Tribology, Vol.105, 1983, pp.48-66.
- [3] D.H. Choi and S.J. Yoon, "Static Analysis of Flying Characteristics of the Head Slider by Using an Optimization Technique", ASME Journal of Tribology, Vol.116, 1994,pp.90-94.
- [4] G.V. Reklaitis, A. Ravindran and K.M. Ragsdell, "Engineering Optimization", John Wiley&Sons, 1983.
- [5] H. Hashimoto and Y. Hattori, "Improvement of the Static and Dynamic Characteristics of Magnetic Head Sliders by Optimum Design", ASME Journal of Tribology, Vol.122, 2000, pp.280-287.
- [6] M. Avriel, M.J. Rijckart and D.J. Wilde, "Optimization and Design", Prentice-Hall, 1973.